

## МАГНИТОИНДУЦИРОВАННАЯ ПРОСТРАНСТВЕННАЯ ДИСПЕРСИЯ В КУБИЧЕСКИХ МАГНИТНЫХ ПОЛУПРОВОДНИКАХ $Cd_{1-x}Mn_xTe$

Б. Б. Кричевцов\*, Р. В. Писарев†, А. А. Ржевский, В. Н. Гриднев‡

Физико-технический институт им. А. Ф. Иоффе Российской академии наук  
194021, Санкт-Петербург, Россия

Х. Ю. Вебер§

Physics Department, Dortmund University  
44221, Dortmund, Germany

Поступила в редакцию 22 января 1998 г.

В кубических магнитных полупроводниках  $Cd_{1-x}Mn_xTe$  ( $0 \leq x \leq 0.52$ ) в поперечной геометрии обнаружено дупреломление света, линейное по магнитному полю  $B$  и волновому вектору света  $k$ . Оно характеризуется сравнительно большой величиной  $\sim 1$  (град/см/Тл) и в отличие от эффектов Фарадея и Фойгта сильной анизотропией. Это явление обусловлено членами типа  $\gamma_{ijkl} B_k k_l$  в тензоре диэлектрической проницаемости  $\epsilon_{ij}$  и описывается двумя параметрами  $A$  и  $g$ . Спектральные исследования показали, что нормированные функции  $A/x$  и  $g/x$  не зависят от  $x$ , т.е. эффект можно связать с ионами  $Mn^{2+}$ . Ниже края запрещенной зоны  $E_g$  дисперсия  $A$  описывается зависимостью  $(E_g - E)^{-1.4}$ , а  $g$  не имеет дисперсии. Теоретический анализ показал, что спектральные зависимости  $A$  и  $g$  могут быть объяснены особенностями законов дисперсии электронов и дырок, связанных с отсутствием центра инверсии, и зависимостью параметров обменного взаимодействия от волнового вектора электронов.

### 1. ВВЕДЕНИЕ

Магнитные, оптические и магнитооптические свойства магнитных полупроводников интенсивно исследуются в течение ряда лет. Интерес к этим кристаллам обусловлен, в частности, гигантскими значениями магнитооптических эффектов Фарадея, Фойгта, Керра, кругового дихроизма и др. [1–3]. Изучению этих явлений в магнитных полупроводниках посвящено большое число работ, однако их микроскопическая природа остается во многих случаях дискуссионной. Так, например, серьезные затруднения вызывает интерпретация вклада межзонных переходов в эффект Фарадея [4, 5], поскольку наблюдаемые спектральные зависимости существенно отличаются от предсказываемых теорией [6, 7].

Линейные по магнитному полю  $B$  эффекты Фарадея, Керра и др. описываются с феноменологической точки зрения аксиальным тензором третьего ранга, который разрешен в кристаллах любых классов и в неупорядоченных средах. Однако многие маг-

\*E-mail: krichev@star.shuv.pti.spb.su

†E-mail: pisarev@star.shuv.pti.spb.su

‡E-mail: gridnev@star.shuv.pti.spb.su

§H.-J. Weber.

нитные полупроводники, в частности  $\text{Cd}_{1-x}\text{Mn}_x\text{Te}$ , кристаллизуются в кубической нецентросимметричной структуре цинковой обманки ( $\bar{4}3m$ ), и в них при приложении магнитного поля  $\mathbf{B}$  разрешены явления магнитоиндуцированной пространственной дисперсии, связанные с билинейными членами типа  $\Delta\epsilon_{ij} = \gamma_{ijkl} k_k B_l$  в тензоре диэлектрической проницаемости  $\epsilon_{ij}$ , где  $\mathbf{k}$  — волновой вектор света. В качестве примера такого явления можно назвать невзаимное двупреломление света ( $kB$ -эффект). Симметричный по индексам  $ij$  аксиальный тензор  $\gamma_{ijkl}$  существует в любых нецентросимметричных кристаллах [8–10]. Поскольку  $kB$ -эффект является линейным по  $\mathbf{k}$  эффектом пространственной дисперсии, вне области экситонных резонансов он имеет дополнительную по сравнению с эффектом Фарадея малость  $a/\lambda$ , где  $a$  — межатомное расстояние и  $\lambda$  — длина волны в среде. Известно лишь несколько публикаций, в которых сообщалось о наблюдении оптических явлений магнитоиндуцированной пространственной дисперсии в немагнитных полупроводниках при низких температурах. К ним относятся эффект «инверсии магнитного поля» [11, 12], индуцированное поперечным магнитным полем просветление кристалла, помещенного между скрещенными поляризаторами [13, 14]. Эти явления наблюдались в  $\text{CdS}$ ,  $\text{CdSe}$ ,  $\text{GaAs}$  в области экситонного поглощения. До настоящего времени теоретическое рассмотрение микроскопических механизмов ограничивалось учетом линейных по  $\mathbf{k}$  и  $\mathbf{B}$  членов в дисперсии экситонов или поляритонов [13–15]. Но известно, что в магнитных полупроводниках действие внешнего магнитного поля значительно усилено обменным  $sp-d$ -взаимодействием, приводящим к аномально высоким значениям линейного по магнитному полю эффекта Фарадея [1, 2] и квадратичного по магнитному полю эффекта Фойгта [3]. Можно было предполагать, что величина  $kB$ -эффекта в магнитных полупроводниках окажется промежуточной между величинами этого эффекта в диа- или парамагнитных веществах, где он мал, и в магнитоупорядоченных кристаллах, где он определяется сильными внутренними обменными полями и потому вполне достаточен для экспериментального изучения [16–18]. Кроме того, как будет показано ниже,  $kB$ -эффект более чувствителен к особенностям электронной структуры магнитных полупроводников по сравнению с эффектом Фарадея, что позволяет надеяться на получение более детальной информации о структуре зон, в частности об их асимметрии, из исследования дисперсии  $kB$ -эффекта.

Эти, а также некоторые другие соображения послужили основанием для постановки данной работы, посвященной экспериментальному и теоретическому исследованию оптических явлений магнитоиндуцированной пространственной дисперсии в магнитных полупроводниках  $\text{Cd}_{1-x}\text{Mn}_x\text{Te}$ . Поскольку эксперименты [13, 14], основанные на измерении интенсивности света, прошедшего через кристалл между скрещенными поляризаторами, строго говоря, не могут однозначно доказать нечетность наблюдаемого явления относительно  $\mathbf{k}$  или  $\mathbf{B}$ , особое внимание в работе было уделено обоснованию метода, позволяющего получить прямое доказательство нечетности, когда измеряемая величина непосредственно определяется произведением  $k_i B_j$  и изменение знака любого из векторов приводит к изменению знака эффекта. Приводятся результаты исследований полевых, угловых, спектральных и концентрационных зависимостей линейного по магнитному полю двупреломления света, а также эффекта Фойгта и эффекта Фарадея. Экспериментальные результаты по  $kB$ -эффекту интерпретируются в рамках теории, учитывающей особенности законов дисперсии электронов в зоне проводимости и валентной зоне и зависимость обменных параметров от волнового вектора электронов.

## 2. ФЕНОМЕНОЛОГИЧЕСКОЕ РАССМОТРЕНИЕ

Тензор диэлектрической проницаемости диа- или парамагнитного кристалла во внешнем магнитном поле  $\mathbf{B}$  при учете членов до второго порядка по  $\mathbf{B}$  и  $\mathbf{k}$  можно представить в виде [8–10]

$$\Delta \varepsilon_{ij} = \varepsilon_{ij}^0 + \alpha_{ijk} B_k + \beta_{ijk} k_k + \gamma_{ijkl} B_k k_l + \nu_{ijkl} k_k k_l + \mu_{ijkl} B_k B_l, \quad (1)$$

где  $\varepsilon_{ij}^0$  — тензор диэлектрической проницаемости в отсутствие магнитного поля и без учета пространственной дисперсии. Тензоры  $\beta_{ijk}$ ,  $\nu_{ijkl}$  и  $\mu_{ijkl}$  являются полярными, а тензоры  $\alpha_{ijk}$ ,  $\gamma_{ijkl}$  — аксиальными. В области прозрачности тензор  $\alpha_{ijk}$  описывает эффект Фарадея,  $\beta_{ijk}$  — оптическую активность,  $\gamma_{ijkl}$  — эффект магнитоиндуцированной пространственной дисперсии ( $kB$ -эффект),  $\nu_{ijkl}$  — двупреломление Лоренца,  $\mu_{ijkl}$  — квадратичный эффект Фойгта. Компоненты тензоров  $\alpha_{ijk}$ ,  $\nu_{ijkl}$ ,  $\mu_{ijkl}$  могут быть отличны от нуля в кристаллах любой симметрии,  $\beta_{ijk}$  — в нецентросимметричных кристаллах, допускающих оптическую активность. Тензор  $\gamma_{ijkl}$  отличен от нуля в любых нецентросимметричных кристаллах.

Рассмотрим изменение оптических свойств кристалла класса  $\bar{4}3m$ , помещенного в магнитное поле. Оптическая активность запрещена и изменение оптических свойств определяется тензорами  $\alpha_{ijk}$ ,  $\mu_{ijkl}$  и  $\gamma_{ijkl}$ . Тензор  $\alpha$  имеет одну компоненту, тензор  $\mu$  — три компоненты [19] и тензор  $\gamma$  — две компоненты:  $A = \gamma_{xyxy}$  и  $g = \gamma_{xyzy}$  [15]. В продольной геометрии,  $\mathbf{k} \parallel \mathbf{B}$ , имеет место эффект Фарадея, в поперечной геометрии — эффект Фойгта. Вклад магнитоиндуцированной пространственной дисперсии или  $kB$ -эффекта в тензор диэлектрической проницаемости имеет вид

$$\Delta \varepsilon_{ij}^{\gamma} = \gamma_{ijkl} B_k k_l = \begin{pmatrix} A(B_y k_y - B_z k_z) & g(B_x k_y - B_y k_x) & g(B_z k_x - B_x k_z) \\ g(B_x k_y - B_y k_x) & A(B_z k_z - B_x k_x) & g(B_y k_z - B_z k_y) \\ g(B_z k_x - B_x k_z) & g(B_y k_z - B_z k_y) & A(B_x k_x - B_y k_y) \end{pmatrix}, \quad (2)$$

где оси  $x, y, z$  соответствуют направлениям [100], [010], [001] в кристалле. Этот вклад приводит к линейному по магнитному полю двупреломлению, которое имеет место как в геометрии Фарадея, так и в геометрии Фойгта. Очевидно, что в геометрии Фарадея линейное индуцированное двупреломление, будучи эффектом более высокого порядка, должно приводить к относительно небольшой эллиптичности на фоне фарадеевского поворота плоскости поляризации. В геометрии Фойгта эффект Фарадея отсутствует, а  $kB$ -эффект и квадратичный эффект Фойгта являются эффектами второго порядка и приводят к двупреломлению, которое, как мы покажем ниже, можно надежно разделить на отдельные вклады, используя их различные симметричные свойства и различную зависимость от магнитного поля.

Проанализируем наиболее важные случаи изменений оптической индикатрисы при учете членов  $\varepsilon_{ij}^{\gamma}$ .

### 1. $\mathbf{k} \parallel [110]$ , $\mathbf{B} \parallel [001]$

Тензор  $\varepsilon_{ij}^{\gamma}$  приводится к главным осям поворотом вокруг оси  $z$  на  $45^\circ$  ( $x' \parallel \mathbf{k}$ ) и поворотом вокруг оси  $x'$  на  $45^\circ$ . Главные направления эллипса индикатрисы ориентированы под углом  $45^\circ$  к направлению магнитного поля  $\mathbf{B}$  (рис. 1а). Величина двупреломления  $\Delta n = gBk/n$ , т. е. зависит только от параметра  $g$ . Пусть в лабораторной системе координат  $XYZ$  направление вектора  $\mathbf{k}$  совпадает с осью  $X$ , а направление поля  $\mathbf{B}$  с осью  $Z$ . Используя трансформационные свойства тензора  $\varepsilon_{ij}^{\gamma}$ , можно показать, что поворот кристалла на  $180^\circ$  вокруг осей  $X$  и  $Y$  приводит к повороту главных

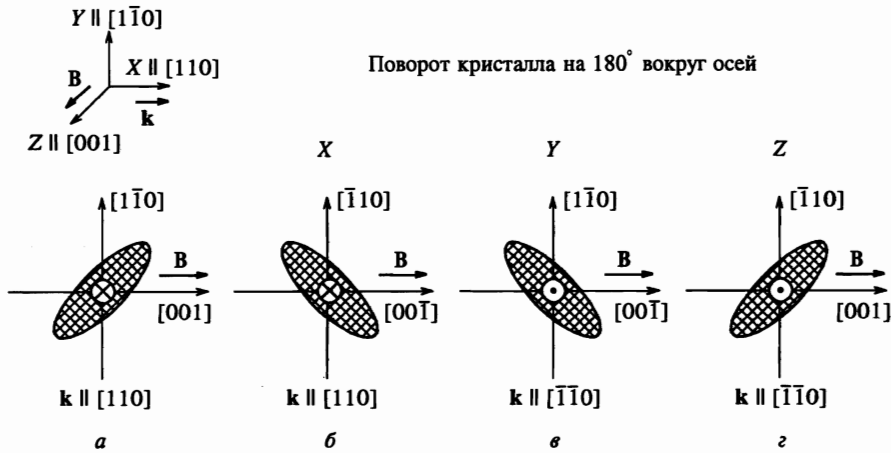


Рис. 1. Сечение индикатрисы в лабораторной системе координат XYZ при  $k \parallel [110]$ ,  $B \parallel [001]$  (a) и ее изменение при повороте кристалла на 180° вокруг оси X (б), Y (в) и Z (г)

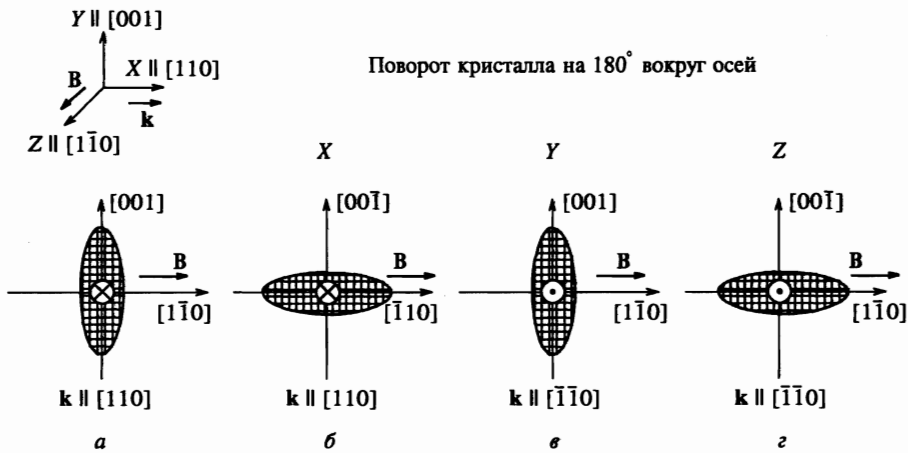


Рис. 2. Сечение индикатрисы в лабораторной системе координат XYZ при  $k \parallel [110]$ ,  $B \parallel [1\bar{1}0]$  (a) и ее изменение при повороте кристалла на 180° вокруг оси X (б), Y (в) и Z (г)

направлений индикатрисы на 90° (рис. 1б, в), а поворот вокруг оси Z не изменяет их направления (рис. 1г).

2.  $k \parallel [110]$ ,  $B \parallel [1\bar{1}0]$

Тензор  $\epsilon_{ij}^{\gamma}$  приводится к главным осям одним поворотом вокруг оси z на 45°. Одно из главных направлений оказывается параллельным, а второе — перпендикулярным магнитному полю B (рис. 2a). Величина дупреломления  $\Delta n = (3A + 2g)Bk/4n$  определяется параметрами A и g. Поворот кристалла вокруг осей X и Z приводит к повороту главных направлений индикатрисы (рис. 2б, г), а поворот вокруг Y оставляет их неизменными (рис. 2в). Отметим, что рассмотренные выше изменения ориентации индикатрисы являются следствием линейности тензора  $\Delta\epsilon_{ij}^{\gamma}$  относительно k и B и поэтому

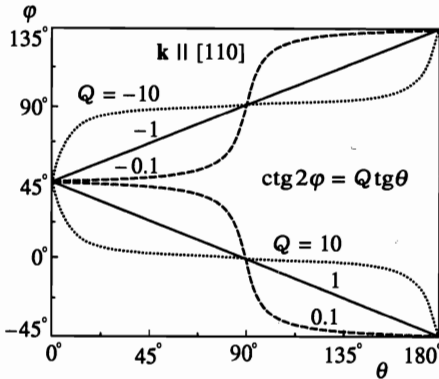


Рис. 3. Зависимость азимута главного направления индикатрисы  $\varphi$  от направления  $\theta$  магнитного поля  $\mathbf{B}$  для  $\mathbf{k} \parallel [110]$ . Углы  $\varphi$  и  $\theta$  отсчитываются от направления  $[001]$

могут быть использованы для экспериментального доказательства нечетности эффекта по отношению к  $\mathbf{k}$ . Нечетность эффекта по отношению к  $\mathbf{B}$  доказывается изменением его знака при изменении знака  $\mathbf{B}$ .

Вращение магнитного поля на  $90^\circ$  в плоскости  $(110)$  от оси  $[001]$  к оси  $[\bar{1}\bar{1}0]$  вызывает поворот главных направлений индикатрисы на  $45^\circ$ . Зависимость угла поворота  $\varphi$  главных направлений индикатрисы от направления магнитного поля  $\theta$  определяется выражением

$$\text{ctg } 2\varphi = Q \text{tg } \theta, \tag{3}$$

где  $Q = (3A + 2g)/4g$ , и для различных значений  $Q$  представлена на рис. 3. При  $Q = \pm 1$  главные направления индикатрисы поворачиваются на угол в два раза меньший, чем отклонение магнитного поля от направления  $[001]$ . Эллиптичность индикатрисы при  $Q = 1$  не изменяется. При  $Q \neq \pm 1$  вращение индикатрисы нелинейно по отношению к повороту поля и эллиптичность зависит от направления  $\mathbf{B}$ .

### 3. $\mathbf{k} \parallel [111], \mathbf{B} \perp [111]$

В этом случае главные направления лежат под углом  $45^\circ$  к полю, когда магнитное поле  $\mathbf{B}$  параллельно направлению  $[112]$ . Когда  $\mathbf{B}$  параллельно направлению типа  $[110]$ , одно из главных направлений лежит параллельно, а другое перпендикулярно к  $\mathbf{B}$ . В обоих случаях  $\Delta n = (A + 2g)kB/\sqrt{6}n$ .

Наличие определенных элементов симметрии может приводить к запрещению эффекта в некоторых геометриях. Например,  $kB$ -эффект запрещен, если вектор  $\mathbf{k}$  параллелен оси четного порядка, например типа  $[100]$ . Если  $\mathbf{B}$  лежит в зеркальной плоскости, перпендикулярной поверхности кристалла, то оси индикатрисы направлены под углом  $45^\circ$  к полю. Если  $\mathbf{B}$  лежит перпендикулярно этой плоскости, то одно из главных направлений индикатрисы параллельно, а второе перпендикулярно  $\mathbf{B}$ .

В присутствии квадратичного эффекта Фойгта изменения оптической индикатрисы под действием поля происходят более сложным образом. Тем не менее, как показано в следующем разделе,  $kB$ -эффект и эффект Фойгта могут быть однозначно разделены.

3. МЕТОДИКА ИЗМЕРЕНИЙ

Оптическая схема экспериментальной установки приведена на рис. 4. Свет от источника (лазер He-Ne с длиной волны  $\lambda=0.633$  мкм и лазер  $Al_2O_3:Ti$  с длиной волны  $\lambda = 0.7-0.83$  мкм) проходил через поляризатор, образец в зазоре электромагнита  $V \perp k$ , четвертьволновую пластинку  $\lambda/4$ , фарадеевский модулятор, анализатор и регистрировался фотодиодом. Такая схема обычно используется для измерения двупреломления [20], причем поляризация света после поляризатора должна быть параллельна одной из осей пластинки  $\lambda/4$  и составлять угол  $45^\circ$  с главными направлениями сечения индикатрисы. Угол поворота анализатора, соответствующий погасанию, определяется величиной двупреломления и равен половине сдвига фаз между линейно поляризованными нормальными волнами. Мы использовали две геометрии,  $E \parallel V$  и  $\widehat{E}V = 45^\circ$ , показанные на рис. 4а, б. В геометрии  $E \parallel V$  (рис. 4а) входная поляризация света  $E_1$  параллельна направлению поля  $V$  и главной оси  $O_1$  пластинки  $\lambda/4$ . В этом случае не проявляется квадратичный эффект Фойгта, поскольку его главные направления ориентированы параллельно и перпендикулярно полю  $V$ , но проявляется двупреломление, индуцированное  $kV$ -эффектом. В геометрии  $\widehat{E}V = 45^\circ$  (рис. 4б) входная поляризация и ось пластинки  $\lambda/4$  направлены под углом  $45^\circ$  к  $V$ . В этом случае проявляется как эффект Фойгта, так и  $kV$ -эффект, в геометрии которого оси направлены параллельно и перпендикулярно к  $V$ . В обеих геометриях измеряется величина поворота  $\alpha$  плоско-

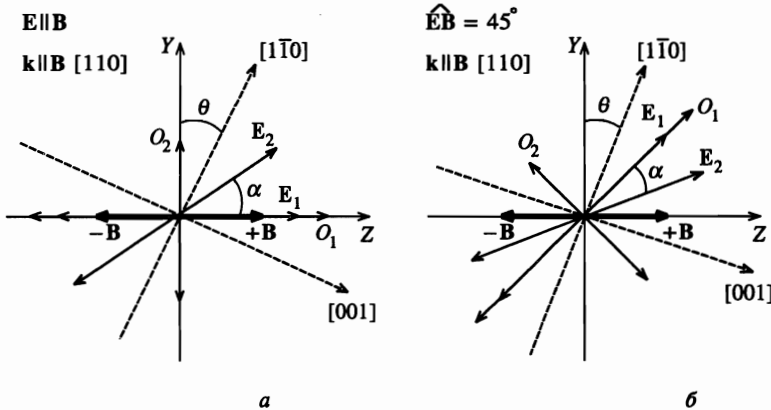
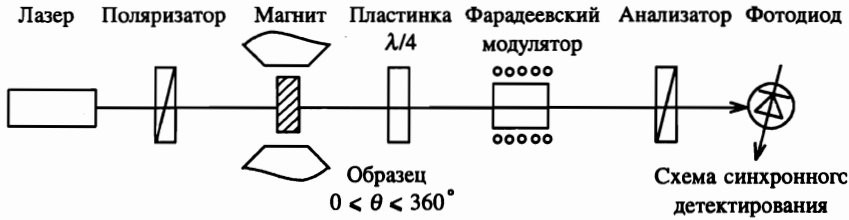


Рис. 4. Экспериментальная установка для измерения  $kV$ -эффекта. Внизу показаны взаимные ориентации магнитного поля  $V$ , поляризации падающего света  $E_1$ , главных направлений  $O_1$  и  $O_2$  пластинки  $\lambda/4$  и поляризации прошедшего света  $E_2$  для геометрий  $E \parallel V$  (а) и  $\widehat{E}V = 45^\circ$  (б)

сти поляризации света  $E_2$ , прошедшего через кристалл и пластинку  $\lambda/4$ . Кристалл мог вращаться в зазоре электромагнита вокруг оси, совпадающей с направлением  $\mathbf{k}$ , в диапазоне азимутальных углов  $0 < \theta < 360^\circ$ . Кроме того, кристалл мог поворачиваться на  $180^\circ$  вокруг оси перпендикулярной  $\mathbf{B}$  и  $\mathbf{k}$  и вокруг оси параллельной  $\mathbf{B}$ . Магнитное поле изменялось в диапазоне  $\pm 1.5$  Тл. В отсутствие магнитного поля определялась величина линейного двупреломления, обусловленного внутренними напряжениями в кристалле и двупреломлением Лоренца. Чувствительность измерений поворота плоскости поляризации составляла  $10''$ . Измерения проводились при температуре  $T = 294$  К. Важным моментом было исключить проявления эффекта Фарадея и магнитного кругового дихроизма из-за неточной ориентации магнитного поля относительно  $\mathbf{k}$ , поскольку эти явления также линейны по магнитному полю и могут значительно превышать  $kB$ -эффект. Для этого в обеих геометриях измерялись полевые зависимости  $\alpha(B)$  без пластинки  $\lambda/4$ . Отсутствие поворота плоскости поляризации свидетельствовало о строгой перпендикулярности поля  $\mathbf{B}$  и вектора  $\mathbf{k}$ .

Во всех кристаллах исследовались спектральные зависимости эффекта Фарадея и спектры поглощения. Дисперсия показателя преломления изучалась в области прозрачности путем измерения поворота плоскости поляризации света, отраженного от поверхности кристалла при различных углах падения. Коэффициент преломления  $n$  рассчитывался по формулам Френеля.

Параметры исследованных монокристаллов  $\text{Cd}_{1-x}\text{Mn}_x\text{Te}$  ( $x = 0, 0.25, 0.35, 0.42, 0.52$ ) приведены в табл. 1. Величина  $E_g$  рассчитывалась исходя из параметров ячейки по формулам, приведенным в [1]. Образцы вырезались в плоскостях типа (100), (110), (111) и представляли собой полированные пластинки с размерами около  $2 \times 3 \times 0.7$  мм<sup>3</sup>. Ориентация образцов проводилась рентгенографически методом брэгговского отражения. Для проверки степени совершенства кристаллов, наличия в них двойников и сростков исследовались их лауэграммы в отражении. Отметим, что поскольку  $kB$ -эффект анизотропен, присутствие двойников или сростков может приводить к уменьшению наблюдаемого эффекта и искажению характера анизотропии, например, к появлению эффекта в запрещенных геометриях ( $\mathbf{k} \parallel [100]$ ). Спонтанное двупреломление исследованных образцов было не больше  $\Delta n \simeq 5 \cdot 10^{-6}$ .

Таблица 1

Параметры образцов  $\text{Cd}_{1-x}\text{Mn}_x\text{Te}$ 

$x$	Параметр ячейки, Å	$E_g$ (300 К), эВ
0.25	6.449(1)	1.86
0.35	6.435	1.99
0.42	6.423	2.08
0.52	6.409	2.21

#### 4. РЕЗУЛЬТАТЫ ЭКСПЕРИМЕНТА

В образцах типа (110) в геометрии  $\mathbf{E} \parallel \mathbf{B}$  наблюдается линейное по магнитному полю двупреломление. При азимутальном повороте кристалла вокруг оси  $X$ , совпадающей с направлением  $\mathbf{k}$ , наклон линейных зависимостей  $\alpha(B)$  меняется существенным образом. На рис. 5а представлены полевые зависимости  $\alpha(B)$  для различных значений

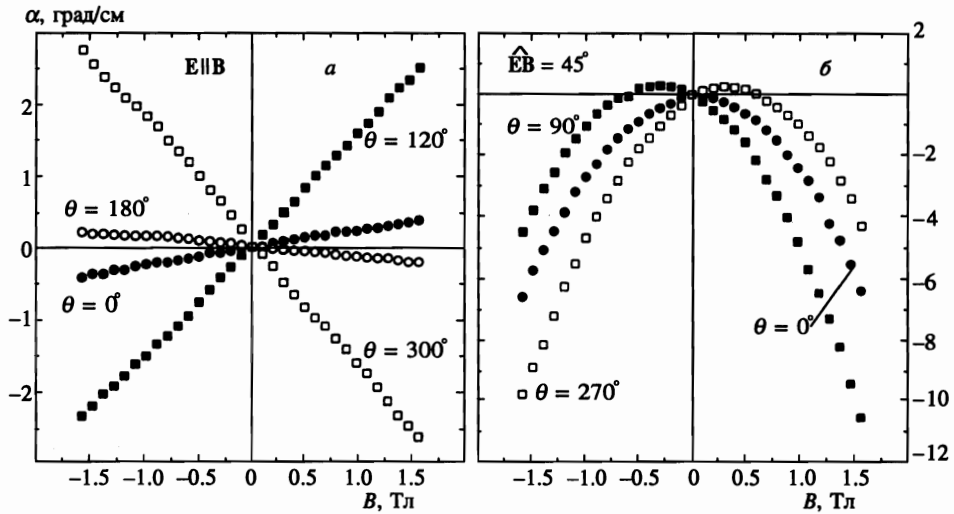


Рис. 5. Полевые зависимости  $kB$ -эффекта в  $Cd_{1-x}Mn_xTe$  ( $x = 0.42$ ) при различных направлениях магнитного поля в геометриях  $E \parallel B$  (а) и  $E\hat{B} = 45^\circ$  (б)

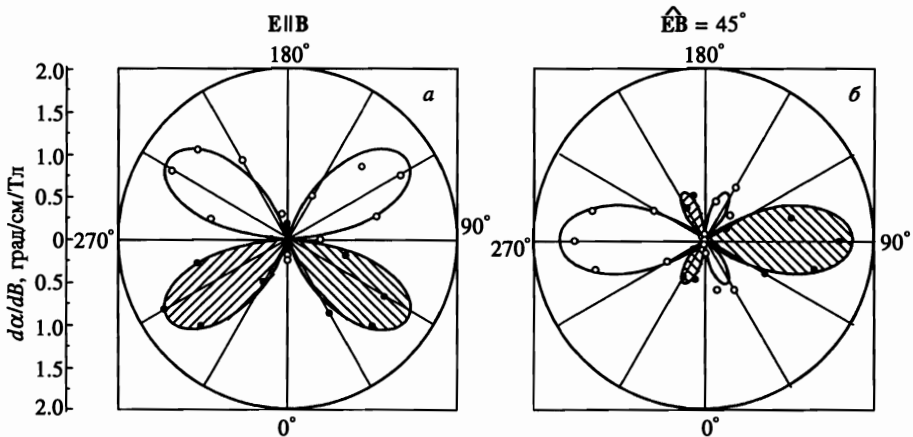


Рис. 6. Вращательная анизотропия  $kB$ -эффекта в  $Cd_{1-x}Mn_xTe$  ( $x = 0.42$ ) в геометриях  $E \parallel B$  (а) и  $E\hat{B} = 45^\circ$  (б). Сплошные линии соответствуют расчетным зависимостям

азимутального угла  $\theta$  для кристалла с  $x = 0.42$  на длине волны  $\lambda = 0.633$  мкм. На рис. 6а представлены угловые зависимости  $\partial\alpha/\partial B$  при повороте кристалла вокруг оси  $X$ . Поворот на  $180^\circ$  вокруг оси  $X$  вызывает смену знака производной, а зависимость  $\partial\alpha/\partial B(\theta)$  описывается комбинацией гармоник 1-го и 3-го порядков  $\cos\theta$  и  $\cos 3\theta$ . Эффект исчезает при  $B \parallel [110]$ , когда магнитное поле лежит перпендикулярно плоскости симметрии, нормальной к поверхности образца. Наклон полевой зависимости  $\alpha(B)$  изменяет знак при повороте кристалла на  $180^\circ$  вокруг оси  $Y$  и сохраняется при повороте вокруг оси  $Z$ .



В геометрии  $\widehat{E\mathbf{B}} = 45^\circ$  полевые зависимости  $\alpha(B)$  в кристаллах типа (110) несимметричны относительно значения  $B = 0$  и описываются суммой квадратичного и линейного по магнитному полю вкладов. На рис. 5б представлены полевые зависимости  $\alpha(B)$  для образца с  $x = 0.42$  для различных углов  $\theta$ . Во всех кристаллах квадратичный по магнитному полю вклад в пределах ошибки эксперимента не зависит от направления  $\mathbf{B}$ , что свидетельствует об изотропности эффекта Фойгта. Отметим нетривиальность этого результата, поскольку кубическая симметрия допускает анизотропию эффекта Фойгта. Линейный по магнитному полю вклад в  $\alpha(B)$  зависит от ориентации  $\mathbf{B}$ . Угловая зависимость наклона  $\partial\alpha/\partial B$  показана на рис. 6б. Эффект исчезает при ориентации магнитного поля перпендикулярно плоскости симметрии, нормальной к поверхности. При повороте кристалла на  $180^\circ$  вокруг оси  $Z$  знак  $\partial\alpha/\partial B$  изменяется, но остается неизменным при повороте вокруг оси  $Y$ .

В образцах типа (111) угловая зависимость наклона линейного по  $\mathbf{B}$  вклада  $\partial\alpha/\partial B(\theta)$  в обеих геометриях,  $E \parallel \mathbf{B}$  и  $\widehat{E\mathbf{B}} = 45^\circ$ , описывается гармониками 3-го порядка.

Следует отметить, что наблюдаемые линейные по магнитному полю зависимости не могут быть связаны с проявлением эффекта Фарадея или магнитного кругового дихроизма даже в сочетании со спонтанным линейным двупреломлением. Об этом свидетельствует несколько фактов. 1. Эффект Фарадея и магнитный круговой дихроизм в кубическом кристалле изотропны. Действительно, экспериментально было установлено, что в кристаллах  $\text{Cd}_{1-x}\text{Mn}_x\text{Te}$  величина эффекта Фарадея не зависит от направления  $\mathbf{k}$  относительно кристаллографических осей. Поэтому возможные ложные эффекты, связанные с комбинацией эффекта Фарадея и спонтанного двупреломления, должны описываться четными гармониками угла  $\theta$  и не менять знак при поворотах кристалла на  $180^\circ$  вокруг оси  $X$ . 2. Повороты плоскости поляризации из-за эффекта Фарадея, связанные с неидеальной перпендикулярностью  $\mathbf{B}$  и  $\mathbf{k}$ , не могут приводить к повороту плоскости поляризации после пластинки  $\lambda/4$ . Они приводят к изменению эллиптичности, что не проявляется в выбранной схеме измерений. 3. Экспериментально было установлено, что повороты магнита величиной порядка  $1^\circ$ , приводящие к появлению эффекта Фарадея, очень слабо влияют на зависимости  $\alpha(H)$  в обеих геометриях.

На рис. 7а, б представлены зависимости нормированного  $kB$ -эффекта  $(\partial\alpha/\partial B)/x$  в геометриях  $E \parallel \mathbf{B}$  и  $\widehat{E\mathbf{B}} = 45^\circ$ , как функции  $E_g - E$ , где  $E_g$  — ширина запрещенной зоны,  $E$  — энергия фотона. Измерения проводились для углов  $\theta$ , соответствующих экстремумам на угловой зависимости  $kB$ -эффекта (см. рис. 6а, б). Концентрационная зависимость  $kB$ -эффекта  $\alpha(x)$  для значения  $E_g - E = 0.45$  эВ, включающая данные для нелегированного  $\text{CdTe}$  ( $x = 0$ ) приведена на вставке рис. 7. Коэффициент преломления  $n$  в  $\text{Cd}_{1-x}\text{Mn}_x\text{Te}$  в области прозрачности близок к 3 и в исследованном спектральном диапазоне изменяется в пределах 10% (см. табл. 2).

## 5. ОБСУЖДЕНИЕ РЕЗУЛЬТАТОВ

Результаты однозначно показывают, что в кристаллах  $\text{Cd}_{1-x}\text{Mn}_x\text{Te}$  наблюдается невзаимный  $kB$ -эффект, описываемый тензором  $\gamma_{ijkl}$  в (1). Об этом свидетельствуют: 1. линейная зависимость  $\alpha$  от магнитного поля; 2. специфическое поведение оптической индикатрисы при повороте кристалла на  $180^\circ$  вокруг оси, перпендикулярной  $\mathbf{B}$  и  $\mathbf{k}$ , и вокруг оси, параллельной  $\mathbf{B}$ ; 3. азимутальные зависимости  $\alpha(B)$  при повороте

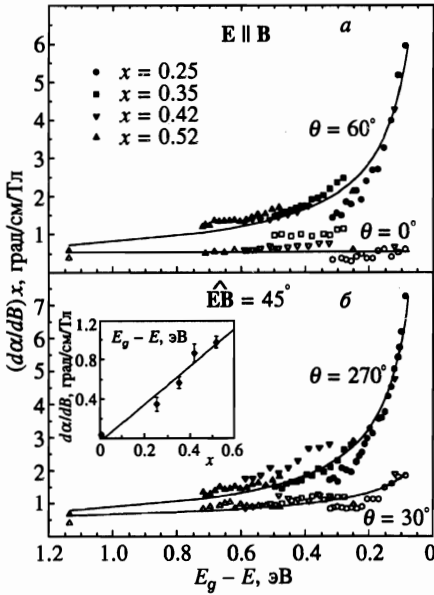


Рис. 7. Зависимость нормированного  $kB$ -эффекта  $(\partial\alpha/\partial B)/x$  от  $(E_g - E)$  в экстремумах угловой зависимости в геометриях  $E \parallel B$  (а) и  $\widehat{EB} = 45^\circ$  (б). На вставке показана концентрационная зависимость  $(\partial\alpha/\partial B)/x$  для  $(E_g - E) = 0.45$  эВ

Таблица 2

Показатель преломления кристаллов  $Cd_{1-x}Mn_xTe$

$x$	$E, \text{эВ}$					
	1.96	1.71	1.67	1.63	1.56	1.50
0*	—	—	—	—	3.05	3.00
0.25	—	3.22(2)	3.13(2)	3.11(2)	3.08(1)	3.00(1)
0.42	3.26(5)	3.05(2)	—	3.00(3)	2.99(2)	2.93(2)
0.52	2.97(2)	2.99(2)	2.85(5)	—	2.86(5)	—

Примечание. \*Значения  $n$  для CdTe из [20].

кристалла вокруг оси  $X$ , параллельной  $k$ , в частности изменение знака эффекта при  $\theta \rightarrow \theta + 180^\circ$ . Поведение индикатрисы при повороте кристалла вокруг осей  $X, Y$  и  $Z$  полностью соответствует выводам симметричного рассмотрения (см. раздел 2) и доказывает нечетность эффекта относительно  $k$ .

Угловые зависимости  $kB$ -эффекта были промоделированы по двум различным программам. Первая, использующая метод матриц Джонса, позволяла рассчитывать полевые и угловые  $\alpha(B)$  в геометриях  $E \parallel B$  и  $\widehat{EB} = 45^\circ$  в плоскостях типа (110) и (111) с учетом эффекта Фойгта и спонтанного двупреломления равного  $\Delta n \sim 5 \cdot 10^{-6}$ . Расчеты показали, что в этом случае в использованном диапазоне полей они не влияют на линейные по магнитному полю вклады в  $\alpha(B)$ . Это позволяет провести простое разделение линейных и квадратичных по магнитному полю эффектов. Вторая программа, основанная на приближенных выражениях, позволяла рассчитывать угловые и полевые

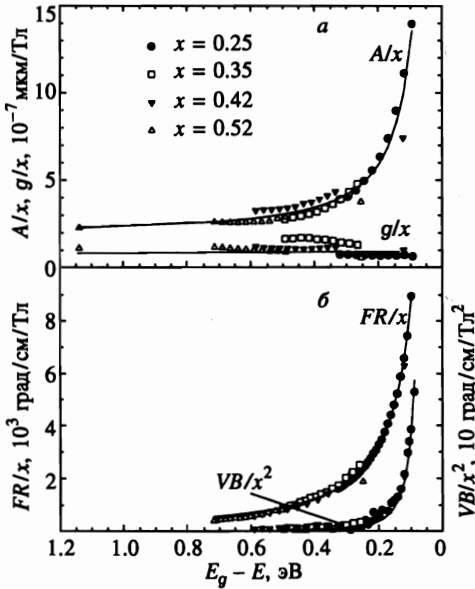


Рис. 8. Зависимость нормированных параметров  $A/x$  и  $g/x$ , а также нормированных значений эффекта Фарадея ( $FR/x$ ) и эффекта Фойгта ( $VB/x^2$ ) от  $(E_g - E)$ . Сплошные линии соответствуют расчетным зависимостям

зависимости  $\alpha(B)$  с учетом спонтанного дупреломления и эффекта Фойгта при произвольном направлении  $\mathbf{k}$ . В плоскостях типа (110) и (111) обе программы давали одинаковые результаты. При произвольном направлении  $\mathbf{k}$  угловая зависимость  $\partial\alpha(\theta)/\partial B$  описывается гармониками 1-го и 3-го порядков по  $\theta$ , амплитуды которых определяются величинами  $A$  и  $g$  и направляющими косинусами вектора  $\mathbf{k}$ .

Дисперсию параметров  $A$  и  $g$  можно рассчитать исходя из зависимости  $\partial\alpha(E_g - E)/\partial B$  при углах  $\theta$ , соответствующих экстремумам их угловой зависимости в геометриях  $\mathbf{E} \parallel \mathbf{B}$  и  $\widehat{\mathbf{E}\mathbf{B}} = 45^\circ$ . Спектральные зависимости нормированных величин  $A/x$  и  $g/x$ , рассчитанные из зависимостей  $\partial\alpha(E_g - E)/\partial B$  (рис. 7а, б), приведены на рис. 8а. Различные спектральные зависимости  $A/x$  и  $g/x$  свидетельствуют о сильной дисперсии параметра  $Q$ , описывающего анизотропию  $kB$ -эффекта. Величина  $Q$  изменяется от  $Q = 2.1$  при  $E_g - E = 1.1$  эВ до  $Q = 11.8$  при  $E_g - E = 0.1$  эВ. Анизотропия  $kB$ -эффекта увеличивается при уменьшении  $E_g - E$ , а при удалении от  $E_g$  приближается к изотропному случаю  $Q = 1$ . На рис. 8б представлены спектральные зависимости нормированных значений эффекта Фарадея —  $FR/x$  и эффекта Фойгта —  $VB/x^2$ . Зависимости на рис. 8а, б являются уникальными, так как позволяют впервые сравнить величину и дисперсию трех различных магнитооптических эффектов в целой группе кристаллов с различной концентрацией  $x$ . Величина эффекта Фарадея примерно на три порядка больше, чем  $kB$ -эффекта. Вблизи края запрещенной зоны в поле величины  $B = 1$  Тл величины  $kB$ -эффекта и эффекта Фойгта сравнимы, но при удалении от края зоны эффект Фойгта уменьшается существенно быстрее, и при  $E_g - E = 0.3$  эВ его величина пренебрежимо мала. При низких температурах эффект Фойгта изучался в [3]. При понижении температуры величина эффекта Фойгта увеличивается и при  $T \approx 10$  К примерно на два порядка больше, чем при  $T = 294$  К.

Зависимости нормированных величин  $A/x$  и  $g/x$  от  $E_g - E$  для кристаллов с различной концентрацией марганца «укладываются» на универсальные, не зависящие от

$x$  функции (рис. 8а). Универсальные зависимости также имеют место для нормированного эффекта Фарадея  $FR/x$  и эффекта Фойгта  $VB/x^2$  (рис. 8б). Существование универсальных зависимостей свидетельствует о том, что при заданном значении  $E_g - E$  эффект Фарадея и  $kB$ -эффект линейны, а эффект Фойгта квадратичен по  $x$ . Линейная функция  $kB$ -эффекта от  $x$ , а также тот факт, что величина  $kB$ -эффекта в нелегированном CdTe на порядок меньше, чем в кристаллах с марганцем, свидетельствуют о преобладающем вкладе ионов  $Mn^{2+}$  в  $kB$ -эффект.

Дисперсию трех магнитооптических эффектов в различных образцах можно описать функцией  $d + t(E_g - E)^{-\tau}$ , где  $d$ ,  $t$  и  $\tau$  — параметры. Для нормированной компоненты  $A/x$  имеем  $\tau = 1.4$ , для эффекта Фарадея  $\tau = 1.5$  и для эффекта Фойгта  $\tau = 3.5$ . Недиагональная компонента  $g/x$  очень слабо зависит от частоты ( $t = 0$ ). Для  $A/x$  величина  $d \simeq 2.0 \cdot 10^{-7}$  мкм/Гл и для  $g/x$  имеем  $d \simeq 1.1 \cdot 10^{-7}$  мкм/Гл, в то время как  $d = 0$  для эффектов Фарадея и Фойгта.

Следует отметить, что абсолютный знак  $kB$ -эффекта не определен, даже если известен тип плоскости, в которой вырезан кристалл, тип направления  $\mathbf{k}$  и направления магнитного поля  $\mathbf{B}$ . Знак  $kB$ -эффекта можно определить только в случае однозначно заданной ориентации элементарной ячейки относительно лабораторной системы координат. Отметим, что такая ориентация сложна как для рентгенографических, так и для нейтронных методов. В принципе  $kB$ -эффект можно использовать для ориентации кристаллов при использовании эталонного образца.

## 6. ТЕОРИЯ

В опубликованных ранее исследованиях  $kB$ -эффекта теоретически анализировались микроскопические механизмы, связанные с экситонными [13, 14] или внутризонными переходами [21, 22], и потому их результаты не могут быть использованы для анализа наших данных. В соответствии с условиями эксперимента ( $E < E_g$ ) мы дадим здесь теоретический анализ  $kB$ -эффекта за счет переходов из валентной зоны  $\Gamma_8$  в зону проводимости  $\Gamma_6$ .

Как видно из (1), тензор  $\gamma_{ijkl}$  равен производной от тензора диэлектрической проницаемости  $\varepsilon_{ij}(\omega, \mathbf{k}, \mathbf{B})$  [9] по  $k_l$  и  $B_k$ :

$$\gamma_{ijkl} = \frac{4\pi\hbar^2}{E^2V} \frac{\partial}{\partial k_l \partial B_k} \sum_{r,s,q} \left[ \frac{J_{sq,rq+k}^i(\mathbf{k}) J_{rq+k,sq}^j(-\mathbf{k})}{E_{rq+k} - E_{sq} - E} + \frac{J_{rq-k,sq}^i(\mathbf{k}) J_{sq,rq-k}^j(-\mathbf{k})}{E_{rq-k} - E_{sq} + E} \right] \Bigg|_{\mathbf{k}, \mathbf{B} \rightarrow 0}, \quad (4)$$

где  $V$  — объем кристалла;  $r = \pm 1$  и  $s = \pm 1, \pm 3$  нумеруют состояния зон  $\Gamma_6$  и  $\Gamma_8$ ;  $\mathbf{J}(\mathbf{k})$  — фурье-компонента оператора тока.

Для расчета тензора  $\hat{\gamma}$  необходимо учесть нецентросимметричность кристалла и внешнее магнитное поле. Однако при учете лишь второго из этих факторов возможен только численный расчет спектра и волновых функций электронов [23]. В случае расчета  $\hat{\gamma}$  задача тем более усложняется, так как помимо магнитного поля необходимо учесть нецентросимметричность кристалла. Тем не менее наиболее важную характеристику тензора  $\hat{\gamma}$ , а именно, его частотное поведение вблизи  $E_g$ , можно определить, зная лишь зависимости энергий электронов и матричных элементов оператора тока от  $q$  вблизи центра зоны Бриллюэна.

Будем учитывать лишь первое слагаемое в формуле (4), так как второе слагаемое дает только слабо зависящий от частоты вклад в  $\hat{\gamma}$  и потому несущественно вблизи края поглощения. По той же причине мы будем рассчитывать только наиболее быстро меняющиеся с частотой вклады в  $\hat{\gamma}$  вблизи  $E_g$ , возникающие при дифференцировании по  $k_l$  и  $B_k$ . В частности, мы пренебрежем зависимостью матричных элементов тока от магнитного поля, т. е. будем дифференцировать по  $B_k$  в (4) только энергетический знаменатель. При этом мы будем использовать зависимости зонных энергий  $E_{r_{q+k}}$  и  $E_{s_k}$  от  $\mathbf{B}$  для предельного случая, когда  $\mathbf{B}$  мало. При таких условиях магнитное поле приводит к анизотропному расщеплению зон легких ( $ll$ ) и тяжелых ( $hh$ ) дырок и к изотропному расщеплению зоны проводимости ( $c$ ) [23, 24]:

$$\Delta E_{lh}(\mathbf{q}, \mathbf{B}) = \pm b\sqrt{4 - 3 \cos^2 \theta}, \quad (5)$$

$$\Delta E_{hh}(\mathbf{q}, \mathbf{B}) = \pm 3b \cos \theta, \quad (6)$$

$$\Delta E_c(\mathbf{q}, \mathbf{B}) = \pm 3a, \quad (7)$$

где  $\theta$  — угол между волновым вектором электрона  $\mathbf{q}$  и вектором среднего спина  $\langle S_z^{\text{Mn}} \rangle$  ионов  $\text{Mn}^{2+}$ . Константы  $a$  и  $b$  пропорциональны  $S_z^{\text{Mn}}$  ( $\langle S_z^{\text{Mn}} \rangle \parallel z$ ) и описывают обменное взаимодействие ионов  $\text{Mn}^{2+}$  с зонными электронами [24]:

$$a = -N_0\alpha \langle S_z^{\text{Mn}} \rangle_x \quad \text{и} \quad b = -N_0\beta \langle S_z^{\text{Mn}} \rangle_x, \quad (8)$$

где  $N_0$  — число элементарных ячеек на единицу объема,  $\alpha$  и  $\beta$  — обменные интегралы соответственно для зоны проводимости и валентной зоны.

Что касается дифференцирования по  $k_l$ , то наряду с зависимостью энергий электронов в зоне проводимости  $E_{c_{q+k}}$  необходимо также учесть в (4) зависимость от  $\mathbf{k}$  матричных элементов оператора тока, т. е. необходимо дифференцировать по  $k_l$  не только знаменатель, но и числитель. Рассмотрим этот вопрос более подробно.

В кристаллах со структурой цинковой обманки отсутствует линейное по  $\mathbf{q}$  расщепление зоны проводимости; влияние нецентросимметричности кристалла, проявляющееся только при учете спин-орбитального взаимодействия, описывается, начиная с кубических по  $\mathbf{q}$  членов [25]. Более того, линейное по  $\mathbf{q}$  расщепление этой зоны отсутствует и в магнитном поле, т. е. в законе дисперсии электронов нет билинейного по  $\mathbf{q}$  и  $\mathbf{B}$  члена (см., например, [26]). Производная  $\partial E_c(\mathbf{q})/\partial \mathbf{q}$ , появляющаяся в (4) при дифференцировании по  $\mathbf{k}$  энергетического знаменателя, имеет вид

$$\partial E_{r_q}/\partial \mathbf{q} = \hbar^2 \mathbf{q}/m_c + r\delta_0 \mathbf{f}(\mathbf{q}), \quad (9)$$

где  $\mathbf{f}$  — квадратичная функция  $\mathbf{q}$ , а  $\delta_0$  — параметр инверсионной асимметрии, ответственный за спиновое расщепление зоны проводимости. Интегрирование показывает, что вклад в  $\gamma_{xyxy} = A$ , пропорциональный  $\delta_0$ , меняется вблизи  $E_g$  как  $(E_g - E)^{-1/2}$ , в то время как  $\gamma_{xyxy} = g = 0$ . Отметим, что энергия электронов валентной зоны в (4) не содержит зависимости от импульса фотона  $\mathbf{k}$ . По этой причине производная  $\partial E_{s_q}(\mathbf{q})/\partial q_l$  не появляется при дифференцировании по  $k_l$  в (4). Тем не менее нечетное по  $\mathbf{q}$  расщепление валентной зоны определяет степень сингулярности подынтегрального выражения в (4) и существенным образом влияет на соответствующий вклад в  $\hat{\gamma}$ . Это расщепление зоны  $\Gamma_8$  описывается линейными по  $\mathbf{q}$  членами (см., например, [27]) благодаря присутствию в эффективном гамильтониане валентной зоны слагаемого

$$\Delta H_v = \frac{4}{\sqrt{3}} C_0 [q_x \{ J_x (J_y^2 - J_z^2) \} + \text{с.п.}], \quad (10)$$

где  $J$  — матрица оператора углового момента в базисе  $\Gamma_8$ , с.р. обозначает циклическую перестановку, а фигурные скобки обозначают симметризацию. При оценке вклада, обусловленного линейным расщеплением валентной зоны, необходимо учесть только первое слагаемое в (9). Вычисляя  $\hat{\gamma}$  в том же приближении что и прежде, т.е. оставляя только наиболее сильно меняющиеся с частотой члены, получим, что вклад от линейного по  $q$  расщепления валентной зоны имеет ту же частотную зависимость, что и соответствующий вклад от зоны проводимости.

Отсутствие линейного по  $q$  расщепления зоны  $\Gamma_6$  приводит к необходимости учитывать линейные по  $q$  слагаемые в матричных элементах оператора тока в формуле (4). Оператор скорости электронов  $v$ , входящий в оператор тока  $J(k) = e(v e^{-ikr} + e^{-ikr} v)/2$ , для рассматриваемых межзонных переходов имеет вид

$$v_i = \sqrt{3}/\hbar [P R_i + i B s_{inm} q_n R_m], \quad (11)$$

где  $R$  — оператор полярного вектора в базисе  $\Psi_{\Gamma_6}$ ,  $\Psi_{\Gamma_8}$ ,  $s_{inm}$  — полностью симметричный тензор,  $P$  и  $B$  — параметры Кейна, причем последний из них обусловлен отсутствием центра инверсии в группе  $\bar{4}3m$ . Оценка вклада в  $\hat{\gamma}$ , связанного со вторым членом в (11), дает частотные зависимости компонент тензора  $\hat{\gamma}$  аналогичные полученным выше. Подчеркнем, что учет линейных по  $q$  слагаемых в операторе скорости (11) необходим ввиду отсутствия линейного расщепления зоны проводимости.

Равенство  $g = 0$  связано, очевидно, с тем, что в (4) мы пренебрегли слабо зависящими от частоты членами. В то же время этот результат находится в качественном соответствии с нашими экспериментальными данными, согласно которым  $g$  слабо зависит от частоты и мало по сравнению с  $A$ , особенно вблизи  $E_g$ .

Отметим, что эффективный гамильтониан экситона, связанного с валентной зоной и зоной проводимости, содержит благодаря члену (10) как линейные по  $q$ , так и билинейные по  $q$  и  $B$  слагаемые. Это приводит к одинаковой частотной зависимости  $A$  и  $g \sim (E - E_{ex})^{-2}$  в экситонной области спектра [14].

Рассчитанное выше частотное поведение  $A \sim (E_g - E)^{-1/2}$  оказывается более медленным, чем полученное в эксперименте, где  $A \sim (E_g - E)^{-1.4}$ . Похожая ситуация возникает при интерпретации экспериментов по фарадеевскому вращению в  $Cd_{1-x}Mn_xTe$  [4], где наблюдаемая вблизи  $E_g$  зависимость угла вращения  $\phi \sim (E_g - E)^{-3/2}$  также оказывается более быстрой, чем даваемая теорией  $\phi \sim (E_g - E)^{-1/2}$  [6] и наблюдаемая в кубических немагнитных полупроводниках (см., например, [7]). В работе [4] было показано, что это расхождение между теорией и экспериментом можно устранить, если учесть зависимость обменных интегралов  $\alpha$  и  $\beta$  в (8) от волнового вектора [28]. Степень влияния этого фактора на магнитооптические эффекты зависит от размера  $q_0$  области вблизи центра зоны Бриллюэна, где  $\alpha$  и  $\beta$  существенно не меняются. Если учесть в приведенных выше оценках тензора  $\hat{\gamma}$  зависимость  $\alpha$  и  $\beta$  от  $q$ , принимая как в [4]

$$\alpha, \beta \sim \frac{q_0^2}{q_0^2 + q^2}, \quad (12)$$

то в области энергий фотонов, определяемых значением параметра  $\kappa = m_{ch} E_g / \hbar^2 q_0^2 \times (1 - E/E_g) \sim 1$ ,  $m_{ch}^{-1} = m_c^{-1} + m_{hh}^{-1}$ , происходит изменение характера поведения функции  $A(E)$  от  $A \sim (E_g - E)^{-1/2}$  при  $\kappa \ll 1$  до  $A \sim (E_g - E)^{-3/2}$  при  $\kappa \gg 1$ . Отметим,

что вкладом легких дырок в магнитооптические эффекты в  $\text{Cd}_{1-x}\text{Mn}_x\text{Te}$  можно пренебречь [4]. Для  $\text{Cd}_{1-x}\text{Mn}_x\text{Te}$  параметр  $m_{ch}E_g/\hbar^2q_0^2 \simeq 50$  [4], что соответствует в нашем эксперименте  $\kappa \gg 1$ . Если мы примем это предположение, то получим зависимость

$$A \sim (E_g - E)^{-3/2} + d(E), \quad (13)$$

где  $d(E)$  — слабо меняющаяся функция энергии фотонов, учитывающая вклад отброшенных в (4) членов. Эта зависимость хорошо согласуется с нашим экспериментом. Здесь важно отметить, что зависимость  $\alpha$  и  $\beta$  от волнового вектора меняет поведение параметра  $A$  в широкой области энергий  $E$  не слишком близких к  $E_g$ . Это существенно отличается от влияния кулоновского взаимодействия электрона и дырки на дисперсионные эффекты [29], которое в области  $E \leq E_g$  проявляется только вблизи  $E_g$ , когда дефицит энергии  $E_g - E$  сравним с энергией связи экситона  $R \simeq 10$  мэВ.

Подчеркнем, что, несмотря на совпадение вблизи  $E_g$  частотных зависимостей фарадеевского вращения и  $kV$ -эффекта, их микроскопическая природа существенно различна. Как следует из нашего анализа, спектральное поведение  $kV$ -эффекта чувствительно к характеру дисперсии электронных зон, в то время как фарадеевское вращение слабо зависит от закона дисперсии.

Поскольку величина  $kV$ -эффекта линейна по параметрам инверсионной асимметрии, то его можно использовать для определения значений этих параметров. Однако решение такой задачи требует численного расчета законов дисперсии и матричных элементов и выходит за рамки этой работы.

## 7. ЗАКЛЮЧЕНИЕ

Основными результатами данной работы являются симметричный анализ явления магнитоиндуцированной пространственной дисперсии в кубических нецентросимметричных кристаллах группы  $\bar{4}3m$ , экспериментальное изучение невзаимного двупреломления света ( $kV$ -эффект) в кристаллах  $\text{Cd}_{1-x}\text{Mn}_x\text{Te}$  ( $0 \leq x \leq 0.52$ ) и разработка микроскопической теории явления. Мы показали, что это явление в магнитных полупроводниках характеризуется большой величиной даже при комнатной температуре, что связано с сильным расщеплением электронных состояний вследствие обменного  $sp-d$ -взаимодействия. Хотя в магнитных полупроводниках  $kV$ -эффект на несколько порядков меньше, чем эффект Фарадея, он по величине сравним с типичными значениями эффекта Фарадея во многих диа- и парамагнетиках. С другой стороны, вблизи  $E_g$  эффект Фойгта и  $kV$ -эффект сравнимы по величине, а вдали от  $E_g$   $kV$ -эффект может заметно превосходить эффект Фойгта. Характерной чертой наблюдаемого двупреломления является его сильная анизотропия как по отношению к направлению  $\mathbf{B}$ , так и  $\mathbf{k}$ , что принципиально отличает его от таких хорошо известных магнитооптических явлений, как эффект Фарадея и эффект Фойгта. Спектральные зависимости параметров  $A$  и  $g$ , описывающих  $kV$ -эффект, показывают разную дисперсию при приближении к  $E_g$ , что свидетельствует о различии их микроскопических механизмов. Параметр анизотропии  $kV$ -эффекта  $Q$  обладает сильной дисперсией, причем анизотропия эффекта уменьшается по мере удаления от края зоны. Мы показали, что полученные в наших экспериментах спектральные зависимости  $A$  можно интерпретировать при одновременном учете прямых межзонных переходов между зоной тяжелых дырок и зоной проводимости, зависимости оператора тока от волнового вектора и зависимости обменных параметров от

волнового вектора электронов. Параметр  $g$  в рассматриваемом приближении равен нулю и для его интерпретации требуется учет других механизмов. Поскольку  $kB$ -эффект по своей природе обусловлен нецентросимметричностью кристалла, его можно использовать для определения параметров, описывающих линейную дисперсию электронов в полупроводниках.

Авторы выражают благодарность Г. К. Аверкиевой за предоставление некоторых монокристаллов и Н. Ф. Картенко за проведение рентгенографических работ. Работа поддержана Российским фондом фундаментальных исследований, программой «Фундаментальная спектроскопия» и фондом Deutsche Forschungsgemeinschaft.

### Литература

1. J. K. Furdyna, J. Appl. Phys. **64**, R29 (1988).
2. П. И. Никитин, А. И. Савчук, УФН **160**, 167 (1990).
3. Eunsoon Oh, D. U. Bartholomew, A. K. Ramdas, J. K. Furdyna, and U. Debska, Phys. Rev. B **44**, 10551 (1991).
4. S. Hugonnard-Bruyère, C. Buss, F. Vouilloz, R. Frey, and C. Flytzanis, Phys. Rev. B **50**, 2200 (1994).
5. C. Buss, S. Hugonnard-Bruyère, R. Frey, and C. Flytzanis, Solid State Commun. **92**, 929 (1994).
6. I. M. Boswarva, R. E. Howard, and A. B. Lidiard, Proc. Roy. Soc. A **269**, 125 (1962).
7. J. G. Mavroides, in *Optical Properties of Solids*, ed. by F. Abelès, North Holland, Amsterdam (1972).
8. D. L. Portigal and E. Burstein, J. Phys. Chem. Solids **32**, 603 (1971).
9. В. М. Агранович, В. Л. Гинзбург, *Кристаллооптика с учетом пространственной дисперсии и теория экситонов*, Наука, Москва (1979).
10. P. Etchegoin, A. Fainstein, P. Santos, L. C. Lew Yan Voon, and M. Cardona, Solid State Commun. **92**, 505 (1994).
11. J. J. Hopfield and D. G. Thomas, Phys. Rev. Lett. **4**, 357 (1960).
12. Е. Ф. Гросс, Б. П. Захарченя, О. В. Константинов, ФТТ **3**, 305 (1961).
13. Е. Л. Ивченко, В. П. Кочерешко, Г. В. Михайлов, И. Н. Уральцев, Письма в ЖЭТФ **37**, 137 (1983); Phys. Stat. Sol. (b) **121**, 221 (1984).
14. О. В. Гоголин, В. А. Цветков, Е. Г. Цицишвили, ЖЭТФ **87**, 1038 (1984).
15. Е. Г. Цицишвили, ФТП **20**, 650 (1986).
16. R. V. Pisarev, V. B. Krichevstov, and V. V. Pavlov, Phase Transitions **37**, 63 (1991).
17. В. В. Кривецов, В. В. Павлов, Р. В. Писарев, и В. Н. Гринев, Phys. Rev. Lett. **76**, 4628 (1996).
18. В. Н. Гринев, Б. Б. Кричевцов, В. В. Павлов, Р. В. Писарев, Письма в ЖЭТФ **65**, 65 (1997).
19. Ю. И. Сиротин, М. П. Шаскольская, *Основы кристаллофизики*, Наука, Москва (1979).
20. J. Ferré and G. A. Gehring, Rep. Prog. Phys. **47**, 526 (1984).
21. Э. И. Рашба, В. И. Шека, ФТТ **3**, 1735 (1961).
22. Y.-F. Chen, M. Dobrowolska, J. K. Furdyna, and S. Rodriguez, Phys. Rev. B **32**, 890 (1985).
23. J. A. Gaj, J. Ginter, and R. R. Galazka, Phys. Stat. Sol. (b) **89**, 655, (1978)
24. J. A. Gaj, in *Semiconductors and Semimetals*, ed. by J. K. Furdyna and J. Kossut, Academic Press, Boston (1988), Vol. 25, p. 275.
25. E. Kane, in *Semiconductors and Semimetals*, ed. by R. Willardson and A. Beer, Academic Press, New York (1966), Vol. 1, p. 75.
26. N. R. Ogg, Proc. Phys. Soc. B **89**, 431 (1966).
27. Г. Л. Бир, Г. Е. Пикус, *Симметрия и деформационные эффекты в полупроводниках*, Наука, Москва (1972).
28. А. К. Bhattacharjee, Phys. Rev. B **41**, 5696 (1990).
29. А. Г. Аронов, А. С. Иоселевич, ФТТ **20**, 2615 (1978).
30. D. T. F. Marple, J. Appl. Phys. **35**, 539 (1964).